

## &lt;論 文&gt;

## 이온窒化된 SW3 코일 스프링의 疲勞舉動에 관한 研究

廉 永 夏\* · 張 星 台\*\* ·

(1983年 3月 15日 接受)

## Study on the Fatigue Behavior of Ion-Nitrided SW3 Coil Spring

Yung-Ha Yum and Sung-Tae Chang

## Abstract

This paper deals with fatigue behavior of ion-nitrided coil spring. It is found that fatigue limit can be significantly increased by ion-nitriding.

Ion-nitrided specimen which is treated at 550°C for 5 hours improves in the fatigue limit by 30 percent in comparison with that of non-nitrided specimen.

On the other hand, the value of spring constant  $K$  has nothing to do with nitriding time and temperature in this experimental range.

Besides fatigue behavior, the following effects are discussed such as compound layer, diffusion layer, hardness distribution and their relations.

## 1. 緒 論

機械部品에 靜荷重이 作用하면 충분히 安全하게 構造할 수 있는 것임에도 불구하고 反復되는 荷重 即 疲勞荷重이 作用하는 경우에는 항복응력보다 낮은 경우라 할지라도 사용 도중에 파괴되 버리는 현상을 많이 볼 수 있다. 이러한 파로파괴 현상이 기계부품파괴의 약 80% 이상이라는 사실을 주목할 때 疲勞現象의 研究는 매우 중요한 과제라고 생각된다.

疲勞壽命 向上法에는 여러가지가 있으나 그 中 窒化法이 오래 前부터 使用되어 왔다. 窒化法에도 가스窒化法, 염욕窒化法 및 이온窒化法이 있다. 그런데 이온窒化法은 作業이 간단하고 공해問題가 없고 經濟的이며 機械의 性質이 우수하여 他 窒化法보다 우수한 方法으로 알려져 있다. 이온窒化法은 西獨의 Bernhard Berghausen에 의해 처음 소개된 후<sup>1)</sup> 安定된 glow discharge 를 얻기 어려운 점등의 원인으로 1970年代부터 활발히

研究되고 있는 실정이며 이온窒化處理한 試片에 對한 마모시험<sup>2)</sup> 굽힘피로試驗<sup>3)</sup> 등에 대한試驗報告가 있으나 코일스프링에 대한 疲勞試驗 即 비틀림에 대한 報告는 찾아 볼 수 없다.

本 論文에서는 이온窒化處理한 코일 스프링을 試片으로 使用해서 비틀림 疲勞試驗을 行했으며 이온질화가 疲勞限度上昇과 어떤 관계를 가지는지를 시험을 通해 얻고자 했다.

먼저 窒化時間과 溫度에 따른 窒化層 깊이를 조사하기 위하여 試片을 溫度와 時間을 變化시켜 450°C ~ 550°C, 0.5hr ~ 5.0hr 로 제작했다. 이렇게 여러 條件으로 만든 試片으로,

첫째 ; 窒化時間과 窒化溫度에 따른 合成層과 擴散層 깊이를 調査 했으며

둘째 ; 이온窒化時間과 溫度에 따른 表面硬度 및 中심부분 硬度를 測定했다.

세째 ; 이온窒化에 의한 스프링常數  $K$  的變化를 調査해서 理論值과 比較 檢討하였다.

네째 ; 각試片에 對한 비틀림 疲勞試驗을 平均應力 50 kg/mm<sup>2</sup> 振幅應力 35kg/mm<sup>2</sup>에서 49kg/mm<sup>2</sup> 까지 step size 2kg/mm<sup>2</sup> 으로 8 단계로 시험을 행해서 이온

\* 정회원, 서울대학교 공과대학

\*\* 정회원, 서울대학교 대학원 기계설계 학과

窒化處理와 疲勞限度와의 관계를 研究했다.

## 2. 試驗裝置 및 方法

### 2.1. 窒化處理

試驗片은 피아노강선(piano wire) KS SW3를 사용했으며 시편의 화학성분과 機械的 性質은 Table 1과 같다.

Table 1 Chamical composition and mechanical properites

Material	Symbol	Chemical composition(%)						Mechanical properites		
		C	Si	Mn	P	S	Cu	$\sigma_u$ kg/mm <sup>2</sup>	G kg/mm <sup>2</sup>	Hv
Piano wire	SW3	0.83	0.20	0.48	0.013	0.007	0.10	166	8200	342

SW3線材는 일반적으로 Valve用 코일 스프링으로 사용되는 冷間引拔 鋼線線材에 Lead patenting 處理를 한 후 超硬다이스 혹은 다이아몬드 다이스에서 冷間引拔 伸線하여 加工한 鋼線이다.

試片의 재원은 Table 2와 같다.

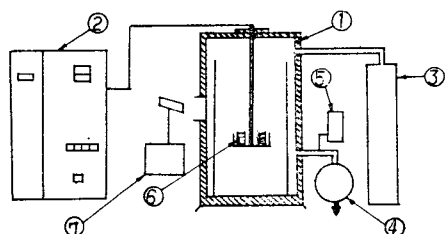
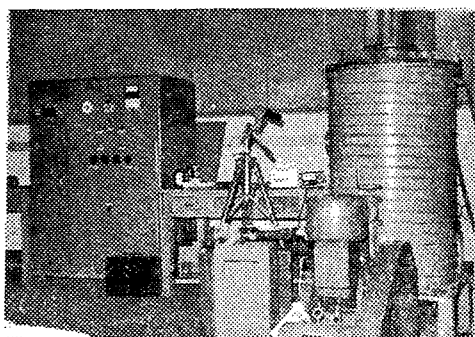


Fig. 1 Overall view of ion-nitriding system

本試驗에서는  $N_2 : H_2 = 80 : 20$ 로 電流를 2암페어로 一定하게 하고 電壓으로 溫度를 調節했다.

Table 2 Dimension of specimen

Diameter of wire (d)	4.2mm	Effective turns (N <sub>e</sub> )	4.25
Mean dia of coil (D)	28.5mm	Total turns (N <sub>t</sub> )	6.25
Free height (H <sub>f</sub> )	45.85mm	Spring index (c=D/d)	6.8
Closed height (H <sub>c</sub> )	25.2mm	Weight (W)	60.48g

원하는 時間 處理가 끝나면 真空펌프와 연결된 뱀브를 通해 급속히 外部 空氣를 넣으므로서 冷却한다.

### 2.2. 硬度 및 窒化層 測定

이온窒化處理를 하면 最外殼表面에 Ntric acid로 腐蝕시켜 腐蝕되지 않는  $Fe_{2-3}N(\epsilon)$  組織으로 알려진 층을 合成層이라하고 腐蝕되지 않고 회색 나타난다고 하여 黑色층이라고도 한다.

合成層 아래 部分은 窒素가 過飽和 고용되어 있는 擴散層이 있다.

試片의 合成層 및 擴散層을 測定하기 위해서 각 處理條件의 試片을 全卷數의 1/2 지점을 切斷하여 호마이 카로 마운팅(mounting)한 후 에머링페이퍼(emering paper)로 1200 번까지 연마(polishing)한 후 microhardness tester로 試片의 矢經 外側에서 內側으로 0.03 mm 간격으로 쳐었다.

合成層의 두께는 3% Nital로 腐蝕시켜 白色層으로 선명하게 나타났으며 擴散層은 現미경 조작으로 판단할 수 없었기 때문에 硬度를 측정해서 中心부분의 硬度보다 더 높은 硬度까지를 擴散層으로 보았다.

### 2.3. 스프링 常數 K 값 測定

荷重과 높이가 數字로 나타나는 스프링常數 測定機 Type-FSP-200BD FUJI SEIKI CO 裝備를 使用해서 KSB 2400-73 圓筒코일스프링의 設計基準에 의해 全體 처짐량의 30% 및 70% 높이에서의 荷重을 測定하여  $K = \Delta p / \delta$ 의 식으로 구했다. 여기서  $\Delta p = p_2 - p_1$ 이며  $p_2$ 는 70%의 처짐量에서 荷重으로 42kg이며  $p_1$ 은 30%의 처짐量에서의 荷重으로 15kg이었다.

試片 自由高의 差異에 의한 오차는 1% 미만으로 무시 가능했다.

試驗은 各處理條件에서 각각 4개씩 2회에 걸쳐 시험했다. 스프링常數 K 값의 理論值는 아래式을 이용했다.

$$K = \frac{Gd^4}{8N_e D^3} \quad (1)$$

여기서  $d$ =와이어 반경  $D$ =코일의 평균반경

$$N_e = \text{유효권수} \quad G = \text{횡탄성계수}$$

式(1)에 의한 本試片의 스프링常數  $K$ 는 3.24이다.

#### 2.4. 疲勞試驗

星形 疲勞試驗機를 使用했으며 구조도가 Fig. 2에 나와 있다. 1회에 16개씩 同時に 試験할 수 있게 되어 있다.

平均應力은 나사(screw)를 調節하고, 振幅應力은 캠(cam)을 交換하여 調節하도록 되어 있다. 平均應力은  $50\text{kg/mm}^2$  으로 一定하게 하고 振幅應力은  $35\text{kg/mm}^2$  에서 step size  $2\text{kg/mm}^2$  으로  $49\text{kg/mm}^2$  까지 8 단계에 걸쳐 시험했다.

여기서 應力 計算은

$$\tau_s = K_r \frac{16PD}{\pi d^3} \quad (2)$$

$\tau_s$  : 전단응력  $K_r$  : 왈(Wahl)의 修正係數

$P$  : 荷重  $D$  : 코일의 平均半徑

$d$  : Wire 半徑

왈(Wahl)의 修正係數는 코일스프링에서의 코일의 曲曲과 接線剪斷의 影響에 의하여 코일 內側의 應力이 코일外側의 應力보다 크게 되는데 이 效果를 計算한 것으로 아래 식으로 계산한다.

$$K_r = \frac{4C-1}{4C-4} + \frac{0.615}{C} \quad (3)$$

여기서  $K_r$  : 왈의 수정계수  $C$  : 스프링 지수( $D/d$ )

本試片의  $K_r$ 는 1.22이다.

反復應力의 速度는 1710RPM으로 一定하게 했으며 시험에서  $10^7$  사이클까지 파단이 일어나지 않으면 영구

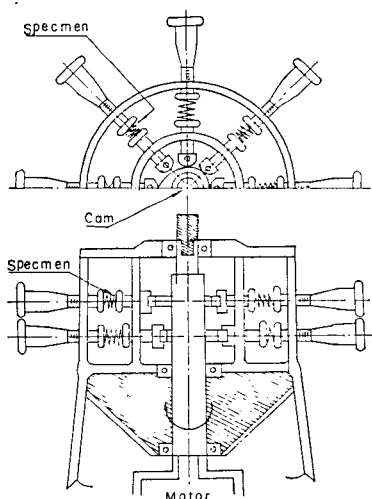


Fig. 2 Mechanism of spring fatigue tester

히 파단이 일어나지 않는 것으로 보았다.

#### 3. 試驗結果 및 考察

##### 3.1. 窒化層 및 表面硬度의 溫度와 時間의 影響

合成層과 擴散層의 깊이를 알기 위해 金屬顯微鏡으로 시판表面을 腐蝕시켜 사진으로 찍은것이 Fig. 3에 있다. 表面의 腐蝕되지 않고 白色으로 나타난 부분이 合成層이다.

各處理 溫度와 時間에 따라 合成層의 깊이가 현저하게 變化하는 것을 觀察할 수 있다. 따라서 이온 窒化法은 질화층을 쉽게 調節할 수 있어 요구되는 機械的인 性質을 얻도록 할 수 있다.

白色層으로보아 窒化處理鋼의 耐蝕性이 向上된다는 것을 알 수 있다. Fig. 3(a)에서  $550^\circ\text{C}-5.0\text{hr}$  窒化處理한 試片에서 合成層이  $16\mu$  정도이며 Fig. 3(e)의  $450^\circ\text{C}-0.5\text{hr}$ 에서 合成層두께  $4\mu$  정도이다.

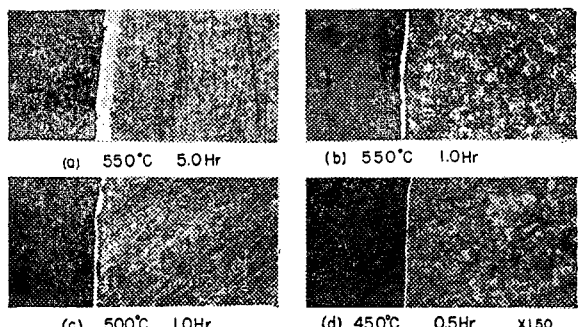


Fig. 3 Microstructure according to nitriding time and temperature

Fig. 4에는 窒化溫度를  $450^\circ\text{C}$ 로 일정하게 하고 窒化處理 時間을 變化시켜 窒化層이 時間に 따라 어떻게 變하는가를 보여주고 있다. 合成層이나 擴散層 다같이

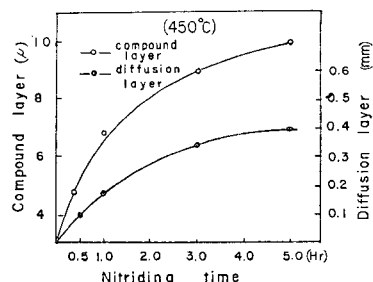


Fig. 4 Compound layer thickness and diffusion layer thickness as a function of nitriding time

時間에 따라 완만한 曲線을 나타내고 있다. 대체로 時間의 1/2승에 比例함을 알 수 있다.

이는 S Terauchi<sup>2,6)</sup> 등의 窒化 깊이는 處理時間의 square root에 比例한다는 보고와 一致한다. 물론 각각 다른 試片이지만 曲線은 거의 同一한 形象을 한다.

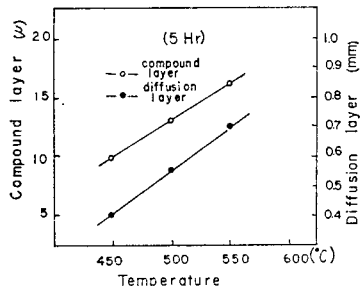


Fig. 5 Compound layer thickness and diffusion layer thickness as a function of nitriding temperature

Fig. 5는 窒化處理 時間을 5時間으로 一定하게 한 후 處理溫度를 450°C, 500°C, 550°C로 變化시켜 溫度의 影響을 調査한 것으로 合成層 및 擴散層 모두 거의 線形的으로 增加함을 알 수 있다. 이것은 溫度가 上昇함에 따라 窒素의 擴散係數가 커져 합성층 및 評算층 두께가 增加하기 때문이다. 이렇게 볼 때 窒化層은 窒化時間과 窒化溫度에 共히 增加하나 窒化時間보다 窒化溫度에 큰 影響을 받는다. 그러나 處理溫度의 範圍는 窒素의 活性化 溫度인 350°C에서 FeN 계의 变態점인 590°C 정도 까지이며 또한 溫度가 너무 높으면 窒化物의 粗大化가 일어나 硬度가 감소하여 재료의 機械的 性質의 變化를 가져온다.

處理時間의 限度는 15時間으로 보나 보통 10時間이후는 窒化 깊이의 變化가 적다. Fig. 6은 450°C로 溫度를 一定하게 하고 處理時間의 變化에 따른 表面硬度의 變化를 보여주고 있다. 450°C-5.0hr 窒化處理時 表面에서 最大硬度가 664Hv이며 3.0時間 處理時 600Hv로 상당히 增加한다. 반면에 中心부분의 硬度는 窒化時間이 많아짐에 따라 조금씩 감소하는 傾向을 보인다. 이는 表面에서는 合成層에 의해서 硬度가 增加하나 中心부분에서는 窒化效果는 없으며 450°C~550°C 사이의 溫度에서 뜨임(tempering)效果에 의해서 재질이 軟化되기 때문이다.

Fig. 7은 窒化處理 時間을 5時間으로 一定하게 하고 溫度를 450°C, 500°C, 550°C로 變化 시켰을 때 表面硬度의 變化를 나타내고 있다. 550°C-5.0時間 處理 試

片에서 최대표면경도 725Hv를 얻었고 500°C-5.0時間 處理 試片에서는 713Hv이었다. 參考文獻<sup>2)</sup>에 의하면 이온窒化 금속의 경도최대치는 窒化처리 시간에 따라 다르며 처리시간의 증가에 따라 저온영역으로 이동된다.

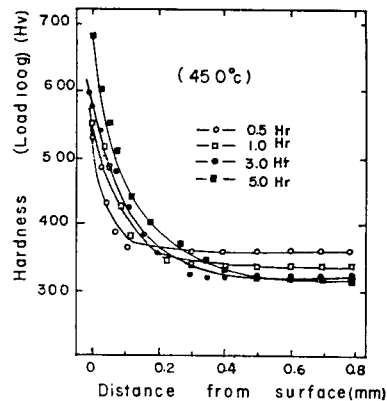


Fig. 6 Hardness distribution curve as a function of depth of below the surface

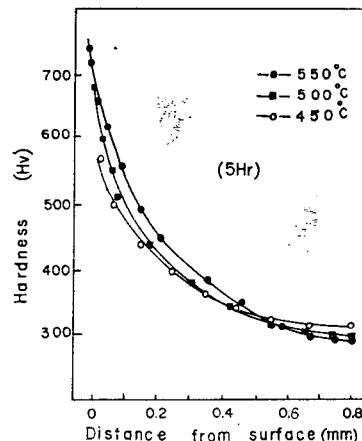


Fig. 7 Hardness distribution curve as a function of depth below the surface

### 3.2. 이온窒化의 스프링常數 $K$ 값에 대한 影響

Fig. 8은 溫度를 450°C로 一定하게 하고 處理時間 을 變化시켰을 때 스프링常數  $K$  값의 變化를 나타내는데 3時間 處理 試片인 경우 무처리 시편에서의 스프링상수의 일치 하였으며 3時間보다 적은 경우 무처리 시편에서의 스프링상수 보다 다소 높은 값을 얻었다. 그러나 5時間 處理時 무처리 시편에서의 스프링상수 보다 오히려 낮은 값을 보인다. 即, 3時間 處理를 基準으로 스프링常數  $K$  값이 무처리재의 스프링상수와 交

又하는데 이는 表面硬度의 增加와 中心부분의 硬度의 減少에 기인하는 것으로 Fig. 6에서 보면  $450^{\circ}\text{C}-0.5\text{ hr}$ 에서는 中心부분의 硬度가 조금 감소한 상태이다. 따라서 전체적으로 表面硬度의 增加와 中心부분의 硬度의 減少를 比較할 때 表面硬度의 增加가 더 크다는 것을 알 수 있다. 반면  $450^{\circ}\text{C}-5.0\text{ hr}$ 時間 處理한 試片은 表面硬度의 增加도 상당히 크지만 中心부분의 硬度 減少量이 더 크기 때문에 결과적으로 재료의 脆性를 가진 G 값을 적게하여 스프링常數 K값이 줄어 들었다.

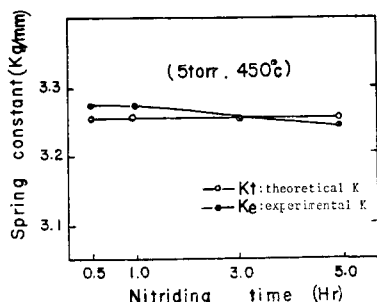


Fig. 8 Spring constant distribution curve as a function of nitriding time

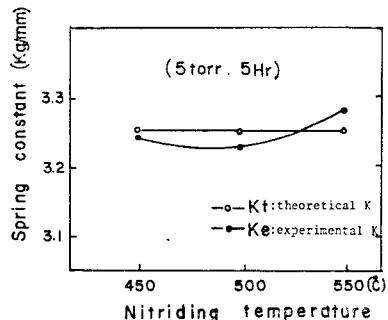


Fig. 9 Spring constant distribution curve as a function of nitriding temperature(5hr)

Fig. 9는 窒化時間은 5時間으로 一定하게 하고 窒化溫度를 變化시켰을 때 스프링常數의 變化를 나타낸 그라프로  $450^{\circ}\text{C}$ ,  $500^{\circ}\text{C}$ 에서는 무처리재의 스프링상수 보다 적은 값이고  $550^{\circ}\text{C}$ 에서는 무처리재의 스프링상수 보다 크다. 이것은 Fig. 7을 觀察하면  $550^{\circ}\text{C}-5.0\text{ hr}$ 時間 處理試片은 表面硬度는 현저하게 增加하였으나 中心부분의 硬度 減少가  $500^{\circ}\text{C}-5.0\text{ hr}$ 時間 處理試片과 거의 같다. 따라서 전체적으로 재질이 強化되었다고 볼 수 있다. 그러므로 G 값의 증가에 의해서 스프링常數 K값은 增加되었다. 그러나 増減量이 全體의 으로 보아 1.2% 이내의 誤差로 거의 變化가 없다고 볼 수 있다. 그러므로 本論文에서 고려한 시험조건 하에서 이온窒化

處理는 스프링常數 K값에 영향을 주지 않는다. 그 원인은 表面硬度가 上昇하여 재질이 强化되는 반면 中心부분의 硬度의 減少에 따른 材質의 軟化가 서로 調和를 이루워 脆性를 가져오지 않는 것으로 생각되며 따라서 스프링常數 K값의 變化가 적게 나타나는 것으로 判断된다.

### 3.3. 窒化와 疲勞限度 向上

疲勞强度 強化에는 合成層은 거의 影響을 주지 않으며 擴散層에서의 窒素의 舉動이 현저한 影響을 준다.<sup>8)</sup>

또한 이온窒化處理를 하면 金屬表面에 合成層과 擴散層이 生長됨에 따라 硬度가 현저하게 증가하지만 中心部分의 경도 감소와 더불어 뜨임(tempering)효과가 나타나 재료에 韌性을 주게되어 疲勞限度 上昇의 한가지 原因이 되며 가장 중요한 원인은 表面層에 形成된 壓縮殘有應에 의한 全體 合成應力의 均一화이다.

Fig. 10에서 보면  $450^{\circ}\text{C}$ 에서 時間을 變化했을 때 處理時間의 增加에 따라 疲勞限度上昇이 뚜렷하게 나타난다.

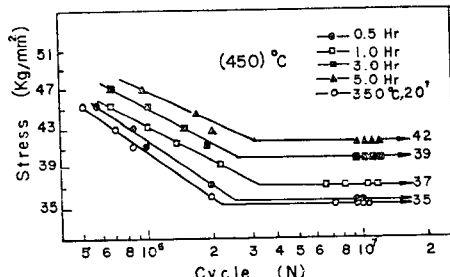


Fig. 10 Variation of S-N diagram with nitriding time

Fig. 10에서 가장 아래선은  $350^{\circ}\text{C}$ 에서 20分 부루잉(blueing)한 후 쇼트피이닝(shot peening)한 試片이다. 이 試片에서 平均應力  $50\text{kg/mm}^2$ 과 振幅應力  $35\text{kg/mm}^2$ 에서 4개중 3개는 破斷되지 않았고 1개는  $7.24 \times 10^6$  cycles에서 破壞되었다. 반면  $450^{\circ}\text{C}-0.5\text{hr}$  窒

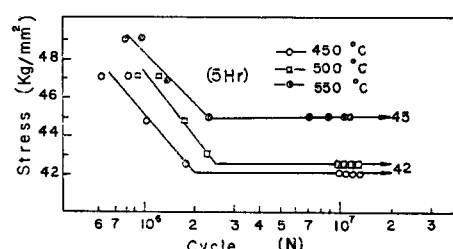


Fig. 11 Variation of S-N diagram with nitriding temperature

化處理한 試片은 振幅應力  $35\text{kg/mm}^2$ 에서는 4개모두 破壞되지 않았으며 高應力,  $\tau_a=41\text{kg/mm}^2$ ,  $45\text{kg/mm}^2$ 에서는 窒化處理하지 않은 試片에 비해 疲勞壽命이 상당히 增加되었다. 또한 窒化時間이 增加함에 따라 疲勞壽命은 더욱 확실히 向上됨을 볼 수 있다. 本 試驗에서  $10^7$  사이클에서 50% 以上 非破壞를 疲勞限度의 基準으로 잡았다.

Fig. 11은 時間은 5時間으로 一定하게 했을때 溫度에 따른 疲勞限度의 增加를 보여주는  $S-N$ 曲선인데  $550^\circ\text{C}-5.0$ 時間 窒化處理한 경우  $50\text{kg/mm}^2$ 의 平均 應力과  $45\text{kg/mm}^2$ 의 振幅應力에서 5개 試片中 2개는 非破壞 되었고 1개는  $8.3 \times 10^6$  사이클에서 破壞 되었다. 이는  $350^\circ\text{C}$ 에서 20分 부루잉(blueing)한 試片에 비해 30%정도 疲勞限度의 增加를 나타낸다. 완전 무처리재와 비교하면 30%이상 上昇이 기대된다.

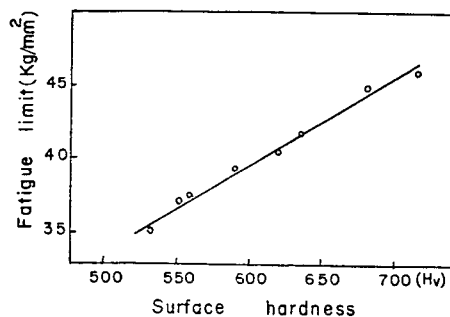


Fig. 12 Fatigue limit as a function of surface hardness

### 3.4. 表面硬度와 疲勞限度와의 關係

Fig. 12는 表面硬度와 疲勞限度와의 關係로 表面硬度가 間加함에 따라 疲勞限度가 線形의으로 變化하고 있다. 이것은 疲勞試驗을 하지 않고 硬度를 測定해서 疲勞限度를 추정 할 수 있으며 이 線을 최소자 승법(least square method)로 fitting 하여 피로한도( $\sigma_u$ )= $0.0555\text{Hv}+6.1\text{kg/mm}^2$ 의 關係式을 얻었다.

## 4. 結論

1. 窒化層은 窒化溫度와 窒化時間에 따라 增加하여 合成層은  $450^\circ\text{C}-0.5\text{hr}$ 에서  $4\mu$ 부터  $550^\circ\text{C}-5.0\text{hr}$ 에서  $16\mu$ 까지 變化하며 窒化層은  $0.1\text{mm}$ 에서  $0.7\text{mm}$ 이며 窒化時間의  $1/2$ 승에 비례하여 窒化溫度에 따라서 거의 直線的으로 變化한다.

2. 表面硬度는 窒化溫度와 窒化時間에 따라 크게 增加하나 中心부분의 硬度는 處理溫度와 時間의 增加에 따라 조금씩 減少하는 傾向을 보인다.

3. 本 試驗의 범위 내에서는 스프링常數  $K$ 값은 모든 試片에서 무처리재의 스프링 상수와 1.2% 이내의 誤差로 變化가 매우 적다. 원인은 表面의 窒化層 形成에 의한 재질의 強化와 中心부분의 硬度 減少에 따른 재질軟化가 調和를 이루어 횡단성계수  $G$ 값의 變化를 나타내지 않은 것으로 判断된다.

4. 疲勞限度는 處理時間과 溫度의 增加에 따라 上昇하며  $550^\circ\text{C}-5.0\text{hr}$ 處理한 試片의 경우  $350^\circ\text{C}-20\text{分}$ 부루잉(Blueing) 및 콧트피닝(shot deening)한 試片에 비해 30% 피로한도 上昇을 보인다.

5. 疲勞限度와 表面硬度는 線形的으로 比例하여 疲勞限度( $\sigma_u$ )= $0.0555\text{Hv}+6.1\text{kg/mm}^2$ 로 表示된다.

## 參考文獻

- Y.M. Lakhtin., "Nitriding of high strength cast iron in glow discharge" Metal itrem, obrabolta Metal 3 pp. 37-44, 1964.
- Kyu Sik Cho., "Carbon effects in ion-nitriding and wear characteristics of ion-nitrided steel", Ph.D. Thesis, KAIS, 1979.
- 李正五, 姜武振., "疲勞強度에 미치는 이온窒化處理의 影響" 大韓機械學會論集 第3卷 第3號 pp. 88-103, 1979.
- B. Endenhofer, "Physical and Metallurgical Aspects of Ion-nitriding" Heat treatment of metals Oxford, pp. 23-28, 1974.
- T.Sone and K. Yamanaka., "On the Ion-nitriding of carbon steels" Journal of the Japan Institute of metals Vol. 41, pp. 621-625, 1977.
- S. Terauchi, H. Terauchi, and K. Kamei., "some properties of carburized steels at Higher Temperature" Heat Treatment, 1976.
- 山中久彦., "窒化法" 日刊工業新聞社, 1976.
- C.K. Jones and S.W. Martin., Ion-nitriding. The '73 Heat Treatment, London, The Metals Society, pp. 71-77, 1975.
- C. Laird: ASTM, STP, 415 pp. 131, 1967.
- Gorge E. Dieter., "Mechanical Metallurgy" second edition McGraw-Hill pp. 403-419, 1976.
- 大西正男, 小笠原弘行., ばね論文集, 第9號 pp. 28-39, 1963.
- T.J. Bewley., "Ion-nitriding" Heat treatment "of metal Vol. 4, No. 1, pp. 3-4, 1977.